

บทที่ 4

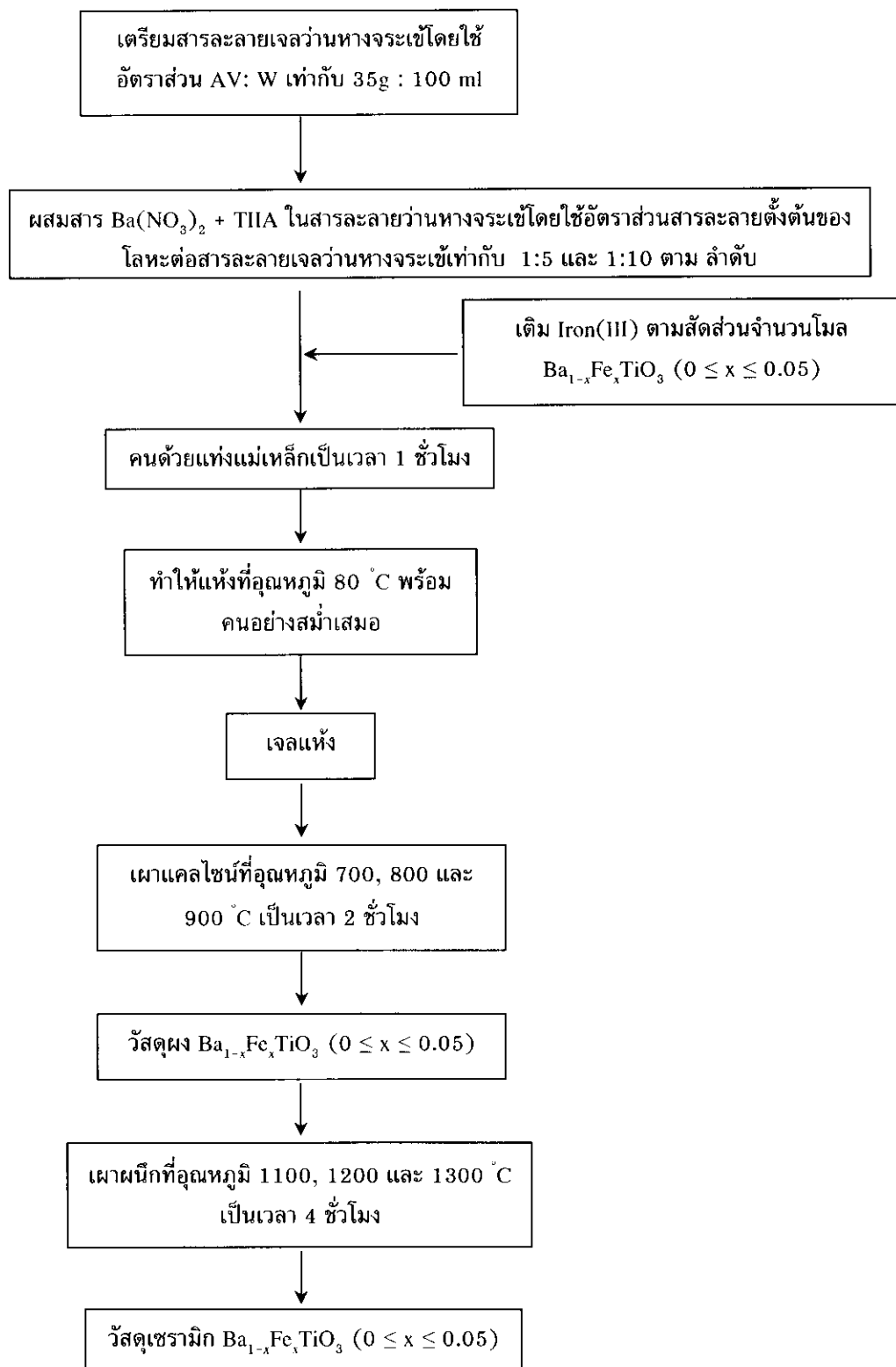
วิธีการวิจัย

วิธีการสังเคราะห์วัสดุผง BaTiO_3 และ วัสดุผง $\text{Ba}_{1-x}\text{Fe}_x\text{TiO}_3$ ($0 \leq x \leq 0.05$) มุ่งเน้นไปที่วิธีเตรียมแบบใหม่โดยใช้สารสกัดจากว่านหางจรเข้เป็นตัวทำละลายโดยใช้อัตราส่วนสารละลายตั้งต้นของโลหะต่อสารละลายเจลว่านหางจรเข้เท่ากับ 1:5 และ 1:10 และทำการศึกษาสมบัติของวัสดุผงที่สังเคราะห์ได้โดยใช้เทคนิคต่างๆ ดังนี้ เทคนิค thermogravimetric/differential thermal analysis (TG/DTA), เทคนิคการเลี้ยวเบนรังสีเอกซ์ (X-ray diffraction, XRD) เทคนิคการหานาดอนุภาคจากรูปแบบการเลี้ยวเบนรังสีเอกซ์, เทคนิคการหาผลที่ซึพารามิเตอร์จากรูปแบบการเลี้ยวเบนรังสีเอกซ์, เทคนิค Fourier transform infrared (FTIR), เทคนิคการถ่ายภาพพื้นผิวด้วยกล้องจุลทรรศน์อิเล็กตรอนแบบส่องกระดาษ (scanning electron microscopy, SEM), กล้องจุลทรรศน์อิเล็กตรอนแบบส่องผ่าน (transmission electron microscopy, TEM) และ เทคนิคการระเจิงรaman (Raman scattering) สำหรับการขึ้นรูปวัสดุผงทำการอัดขึ้นรูปโดยการใช้เครื่องอัดแบบทิศทางเดียว (uniaxial press) และทำการเผาผิงแบบไร้แรงดัน (pressureless sintering) วัสดุเซรามิกที่เตรียมได้ประกอบด้วย วัสดุเซรามิก BaTiO_3 และ วัสดุเซรามิก $\text{Ba}_{1-x}\text{Fe}_x\text{TiO}_3$ ($x = 0, 0.01, 0.02, 0.03, 0.04, 0.05$) วัสดุเซรามิกที่เตรียมได้ถูกนำมาศึกษาเพื่อการเผาผิงโดยใช้เทคนิค XRD เพื่อศึกษาการเกิดเฟสของวัสดุเซรามิก BaTiO_3 และ วัสดุเซรามิก $\text{Ba}_{1-x}\text{Fe}_x\text{TiO}_3$ และศึกษาด้วยลักษณะพื้นผิวโดยเทคนิคการถ่ายภาพ SEM ซึ่งสามารถหาขนาดเกรณของวัสดุเซรามิกได้ สำหรับการศึกษาสมบัติทางไฟอิเล็กทริกได้ศึกษาโดยใช้เครื่องมือทดสอบสมบัติทางไฟฟ้า HP-4194A impedance analyzer ศึกษาในช่วงอุณหภูมิ -50 ถึง 200 °C และในช่วงความถี่ 100 Hz ถึง 1 MHz ขั้นตอนสุดท้ายของโครงการวิจัยเป็นการศึกษาผลของความเด่นแบบแกนเดี่ยวต่อสมบัติทางไฟอิเล็กทริกของวัสดุเซรามิก BaTiO_3 และ วัสดุเซรามิก $\text{Ba}_{1-x}\text{Fe}_x\text{TiO}_3$ ศึกษาในช่วงความเด่น 0 ถึง 12 MPa และในช่วงความถี่ 5 kHz ถึง 200 kHz สำหรับขั้นตอนการสังเคราะห์วัสดุผง การขึ้นรูปและการสังเคราะห์วัสดุเซรามิก ตลอดจนเทคนิคต่างๆ ที่ใช้ในการวิเคราะห์ มีรายละเอียดดังต่อไปนี้

4.1 การสังเคราะห์วัสดุผง BaTiO_3 และ $\text{Ba}_{1-x}\text{Fe}_x\text{TiO}_3$ ($0 \leq x \leq 0.05$) โดยใช้สารละลายเจลว่านหางจรเข้เป็นตัวทำละลาย

การสังเคราะห์วัสดุผง BaTiO_3 โดยใช้ว่านหางจรเข้เป็นตัวทำละลาย สารเคมีที่ใช้ ประกอบด้วย $\text{Ba}(\text{NO}_3)_2$ (99% Carlo Erba, Fw = 261.35) และ Titanium diisopropoxide bis (2, 4-pentane dionate), 75 wt.% in 2-propanol, Mw = 364.30, $\text{C}_{16}\text{H}_{28}\text{O}_6\text{Ti}$, (Acros Organics), (TIIA) เริ่มต้นด้วยผสมสารละลายตั้งต้นของโลหะในเตรตและสารละลายเจลว่านหางจรเข้ (โดยวิธีการเตรียมสารละลายเจลว่านหางจรเข้เท่ากับ 1:5 ซึ่งสารตั้งต้นตามสัดส่วนโมล โดยใช้อัตราส่วนสารละลายตั้งต้นของโลหะในเตรตต่อสารละลายเจลว่านหางจรเข้เท่ากับ 1:5 ซึ่งสารตั้งต้นตามสัดส่วนโมล โดยใช้อัตราส่วนโดยโมล ของ Ba : Ti เท่ากับ 1:1 จากนั้นนำสารละลายโลหะในเตรตกับสารละลายว่านหางจรเข้พร้อมกับคนด้วยแท่งแม่เหล็ก (magnetic stirrer) เป็นเวลา 1 ชั่วโมง หมุนคนจนสารละลายทั้งสองเข้ากัน หลังจากนั้นนำสารละลายที่เตรียมได้ไปทำให้แห้งบน hot plate โดยใช้อุณหภูมิประมาณ 80 °C ใช้เวลาประมาณ 2 สัปดาห์สารละลายตั้งต้นจะแห้งกลายเป็นเจลแห้งหรือวัสดุผงตั้งต้น (precursor) และนำวัสดุผงตั้งต้นที่เตรียมได้ไปทำการเผาแคลไซน์ที่อุณหภูมิ 700, 800 และ 900 °C เป็นเวลา 2 ชั่วโมง เพื่อให้วัสดุผงเกิดเป็นสารประกอบ BaTiO_3 แผนภาพแสดงการสังเคราะห์วัสดุ

ผง BaTiO_3 แสดงในภาพที่ 4.1 ส่วนการสังเคราะห์วัสดุผง $\text{Ba}_{1-x}\text{Fe}_x\text{TiO}_3$ ($0 \leq x \leq 0.05$) โดยใช้ว่านหางจะระเข้เป็นตัวทำละลาย สารเคมีที่ใช้ ประกอบด้วย $\text{Ba}(\text{NO}_3)_2$ (99% Carlo Erba, Fw = 261.35), Iron(III) nitrate 9- hydrate, $\text{Fe}(\text{NO}_3)_3 \cdot 9\text{H}_2\text{O}$ (AnalaR) Fw = 404, (Iron(III)) และ Titanium diisopropoxide bis (2, 4-pentane dionate), 75 wt.% in 2-propanol, Mw = 364.30, $\text{C}_{16}\text{H}_{28}\text{O}_6\text{Ti}$, (Acros Organics), (TIIA) เริ่มต้นด้วยเตรียมสารละลายเจลว่านหางจะระเข้โดยใช้อัตราส่วนของว่านหางจะระเข้ต่อน้ำเท่ากับ 35g : 100 ml และใช้อัตราส่วนของสารละลายตั้งต้นของโลหะต่อสารละลายเจลว่านหางจะระเข้เท่ากับ 1:10 ชั้งสารตั้งต้นตามสัดส่วนโมล $\text{Ba}_{1-x}\text{Fe}_x\text{TiO}_3$ ($x = 0, 0.01, 0.02, 0.03, 0.04, 0.05$) จากนั้นนำสารละลายตั้งต้นของโลหะเทพสมลงไปในสารละลายว่านหางจะระเข้พร้อมกับคนด้วยแท่งแม่เหล็ก (magnetic stirrer) หมุนจนละลายสารทั้งหมดเข้ากันเป็นเวลา 1 ชั่วโมง หลังจากนั้นนำสารละลายที่เตรียมได้ไปทำให้แห้งบน hot plate โดยใช้อุณหภูมิประมาณ 80°C ใช้เวลาประมาณ 2 สัปดาห์สารละลายตั้งต้นจะแห้งกลากเป็นเจลแห้งหรือวัสดุผงตั้งต้น(precursor) และนำวัสดุผงวัสดุผงตั้งต้นที่เตรียมได้ไปเผาเคลื่อนที่อุณหภูมิ 700, 800 และ 900°C เป็นเวลา 2 ชั่วโมง เพื่อให้วัสดุผงเกิดเป็นสารประกอบ $\text{Ba}_{1-x}\text{Fe}_x\text{TiO}_3$ ($0 \leq x \leq 0.05$) แผนภาพแสดงการสังเคราะห์วัสดุผง $\text{Ba}_{1-x}\text{Fe}_x\text{TiO}_3$ ($0 \leq x \leq 0.05$) แสดงในภาพที่ 4.1 ส่วนเงื่อนไขการเตรียมวัสดุผง และวัสดุเซรามิก $\text{Ba}_{1-x}\text{Fe}_x\text{TiO}_3$ ($0 \leq x \leq 0.05$) แสดงได้ในตารางที่ 4.1 และ 4.2 ตามลำดับ



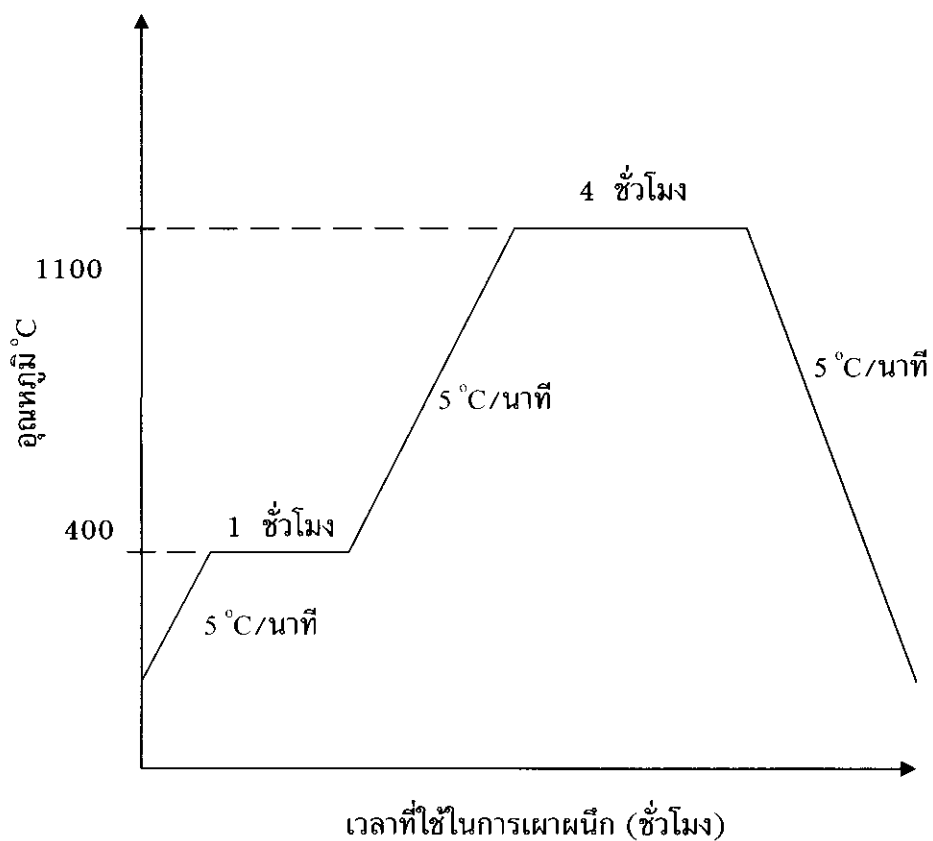
ภาพที่ 4.1 แผนภาพการสังเคราะห์วัสดุผง BaTiO_3 และ $\text{Ba}_{1-x}\text{Fe}_x\text{TiO}_3$ ($0 \leq x \leq 0.05$) เตรียมแบบใหม่ โดยใช้อัตราส่วนสารละลายน้ำจ่วงทางจะระเข้ในต่อตัวสารละลายน้ำจ่วงทางจะระเข้เท่ากับ 1:5 และ 1:10 ตามลำดับ

ตารางที่ 4.1 เส้นทางการเตรียมวัสดุผงหกหงอนที่ใช้ในการวิจัย

วัสดุ	สัญลักษณ์	อัตราส่วนสารตัวตั้งต้นของโลหะในแต่ละต่อสารและลายเจลวานหางจระเข้	อุณหภูมิในการเผาไหม้ (ชั่วโมง)	เวลาในการเผาไหม้ (ชั่วโมง)
BaTiO ₃ ห้องแม่	BTP_0	-	-	-
BaTiO ₃	BTP_1	1:5	700	2
BaTiO ₃	BTP_2	1:5	800	2
BaTiO ₃	BTP_3	1:5	900	2
Ba _{1-x} Fe _x TiO ₃ (x = 0)	BFP_0	1:10	700	2
Ba _{1-x} Fe _x TiO ₃ (x = 0.01)	BFP_1	1:10	700	2
Ba _{1-x} Fe _x TiO ₃ (x = 0.02)	BFP_2	1:10	700	2
Ba _{1-x} Fe _x TiO ₃ (x = 0.03)	BFP_3	1:10	700	2
Ba _{1-x} Fe _x TiO ₃ (x = 0.04)	BFP_4	1:10	700	2
Ba _{1-x} Fe _x TiO ₃ (x = 0.05)	BFP_5	1:10	700	2

4.2 การเตรียมวัสดุเซรามิก BaTiO_3 และ วัสดุเซรามิก $\text{Ba}_{1-x}\text{Fe}_x\text{TiO}_3$ ($0 \leq x \leq 0.05$)

วัสดุเซรามิก BaTiO_3 และ วัสดุเซรามิก $\text{Ba}_{1-x}\text{Fe}_x\text{TiO}_3$ ($0 \leq x \leq 0.05$) สามารถเตรียมได้โดยเริ่มต้นจากน้ำวัสดุพุงที่ผ่านการเคลือบในห้องเผาต่อเนื่อง (sintering) โดยใช้เครื่องอัดแบบทวิภาค (uniaxial stress) ที่ความดัน 400 MPa ในอากาศ โดยใช้เบ้าอัดขนาดเส้นผ่านศูนย์กลาง 1.6 เซนติเมตร อัดนาน 15 นาที ภายหลังการอัดจะได้มีเดของสารตัวอย่างที่มีลักษณะเป็นแผ่นจานกลมขนาดเส้นผ่านศูนย์กลาง 1.6 เซนติเมตร หนาประมาณ 1.0–1.5 เซนติเมตร หลังจากนั้นนำเม็ดสารไปเผาพนัก (sintering) โดยใช้วิธีการเผาพนักแบบไวร์แรงดันที่อุณหภูมิ 1100, 1200 และ 1300 °C เป็นเวลา 4 ชั่วโมงในอากาศ อัตราการเพิ่มและลดลงของอุณหภูมิคือ $5^{\circ}\text{C}/\text{นาที}$ โดยมีแผนภาพแสดงการเผาพนักดังภาพที่ 4.2 และเงื่อนไขการเตรียมวัสดุเซรามิกทั้งหมดแสดงดังตารางที่ 4.2



ภาพที่ 4.2 แผนภาพแสดงความสัมพันธ์ระหว่างอุณหภูมิและเวลาในการเผาพนัก

ตารางที่ 4.2 เงื่อนไขการเผาตัวอย่างสูตรมิกรห์ห์ที่ใช้ในงานวิจัยนี้

วัสดุเชิงรัฐิก	สัญลักษณ์	อัตราส่วนสารและถ่ายตัวน้ำออกโดยไฟเผาต่อสารถาวรเฉลี่ว่าน้ำจะระเบิด	อุณหภูมิในการเผาผ่าน(°C)	เวลาในการเผาผ่าน (ชั่วโมง)
BaTiO_3 ห้องอมา	BTS_0	-	1100	4
BaTiO_3	BTS_1	1:5	1100	4
BaTiO_3	BTS_2	1:5	1100	4
BaTiO_3	BTS_3	1:5	1100	4
$\text{Ba}_{1-x}\text{Fe}_x\text{TiO}_3$ ($x = 0$)	BFS_0	1:10	1100	4
$\text{Ba}_{1-x}\text{Fe}_x\text{TiO}_3$ ($x = 0.01$)	BFS_1	1:10	1100	4
$\text{Ba}_{1-x}\text{Fe}_x\text{TiO}_3$ ($x = 0.02$)	BFS_2	1:10	1100	4
$\text{Ba}_{1-x}\text{Fe}_x\text{TiO}_3$ ($x = 0.03$)	BFS_3	1:10	1100	4
$\text{Ba}_{1-x}\text{Fe}_x\text{TiO}_3$ ($x = 0.04$)	BFS_4	1:10	1100	4
$\text{Ba}_{1-x}\text{Fe}_x\text{TiO}_3$ ($x = 0.05$)	BFS_5	1:10	1100	4

4.3 การศึกษาคุณลักษณะของวัสดุผง BaTiO_3 , วัสดุผง $\text{Ba}_{1-x}\text{Fe}_x\text{TiO}_3$ ($0 \leq x \leq 0.05$), วัสดุเซรามิก BaTiO_3 และ วัสดุเซรามิก $\text{Ba}_{1-x}\text{Fe}_x\text{TiO}_3$ ($0 \leq x \leq 0.05$)

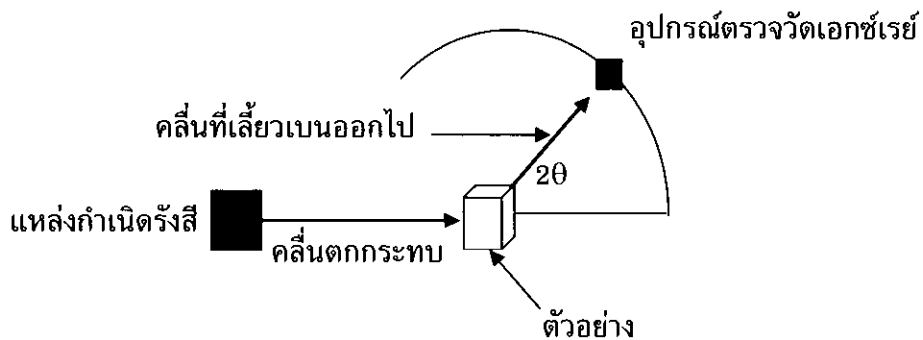
เทคนิคที่ใช้ในการศึกษาคุณลักษณะของ วัสดุผง BaTiO_3 , วัสดุผง $\text{Ba}_{1-x}\text{Fe}_x\text{TiO}_3$ ($0 \leq x \leq 0.05$) วัสดุเซรามิก BaTiO_3 และ วัสดุเซรามิก $\text{Ba}_{1-x}\text{Fe}_x\text{TiO}_3$ ($0 \leq x \leq 0.05$) ที่ใช้ในงานวิจัยนี้ได้แก่ เทคนิค TG/DTA, เทคนิคการเลือยเบนรังสีเอกซ์ (XRD), เทคนิคการหานาดอนนุภาคจากการเลือยเบนรังสีเอกซ์, เทคนิคการหلاءตทิชพารามิเตอร์จากรูปแบบการเลือยเบนรังสีเอกซ์, เทคนิค FTIR, เทคนิคการถ่ายภาพพื้นผิวด้วยกล้องจุลทรรศน์อิเล็กตรอนแบบส่องกราด (SEM) และ เทคนิคการถ่ายภาพพื้นผิวด้วยกล้องจุลทรรศน์อิเล็กตรอนแบบส่องผ่าน (TEM) ซึ่งมีรายละเอียดดังนี้

4.3.1 เทคนิค thermogravimetric/differential thermal analysis (TG/DTA)

เทคนิค TG/DTA ซึ่งเป็นเทคนิคที่ใช้ศึกษาการเปลี่ยนเฟสของวัสดุผงที่เตรียมโดยวิธีการหางเคลเม่ เพื่อประมาณอุณหภูมิในการแคลใจน์วัสดุผงเพื่อให้เกิดสารประกอบที่มีโครงสร้างและองค์ประกอบตามที่ต้องการ การวิเคราะห์ประกอบด้วยสองเทคนิค คือ เทคนิค TGA เป็นเทคนิคที่ใช้ ศึกษาและตรวจสอบปริมาณการเปลี่ยนแปลงมวลของสารที่เป็นฟังก์ชันของอุณหภูมิหรือฟังก์ชันของเวลาที่เปลี่ยนแปลง เทคนิคที่สอง คือ เทคนิค DTA เป็นเทคนิคที่ใช้วัดการเปลี่ยนแปลงทางเคมีของสารซึ่งอยู่ในรูปของการดูดความร้อนหรือดายความร้อนของสารตัวอย่าง ซึ่งในงานวิจัยนี้ใช้เทคนิค TG/DTA ศึกษาการเปลี่ยนเฟสของวัสดุผง BaTiO_3 และ วัสดุผง $\text{Ba}_{1-x}\text{Fe}_x\text{TiO}_3$ ($0 \leq x \leq 0.05$) ที่สังเคราะห์โดยใช้สารละลายว่านทางจะระเข้เป็นตัวทำละลาย เพื่อประมาณอุณหภูมิการแคลใจน์วัสดุผง ในการทดลองได้วัด TG และ DTA ไปพร้อมๆ กัน โดยทำการวัดในช่วงอุณหภูมิ 50 จนถึง 1000°C ในอากาศ อัตราการเพิ่มและอัตราการลดลงของอุณหภูมิเท่ากับ $15^\circ\text{C}/\text{นาที}$ สารอังอิงที่ใช้คือ อัลฟารูมินา ($\alpha\text{-Al}_2\text{O}_3$) ซึ่งเป็นสารที่เสียรต่อความร้อนจึงไม่มีการสูญเสียมวลของสารและไม่เปลี่ยนเฟสในช่วงอุณหภูมิของการทดลอง โดยในงานวิจัยนี้ใช้เครื่อง Pyris Diamond TG/DTA (Perkin Elmer Instrument, USA) ดังอยู่ ณ ภาควิชาเคมี คณะวิทยาศาสตร์ มหาวิทยาลัยขอนแก่น

4.3.2 เทคนิคการเลือยเบนรังสีเอกซ์

เทคนิคการเลือยเบนรังสีเอกซ์ เป็นเทคนิคที่ใช้วิเคราะห์เพื่อศึกษาเฟสของโครงสร้างผลึก (crystal phase identification) โดยอาศัยหลักการเลือยเบนและการกระเจิงของรังสีเอกซ์ ซึ่งเกิดจากการปล่อยกระแสนไฟฟ้าเข้าช้าแคร็ตโอดทำให้อิเล็กตรอนจับกันหนาแน่น แล้วเกิดความต่างศักย์ระหว่างช้าแคร็ตโอดและแอนโนดเพื่อเร่งให้อิเล็กตรอนวิ่งเข้าชนเป้าที่ช้าแอนโนด เป็นผลให้มีการปลดปล่อยรังสีเอกซ์ออกซ์ออกมานับวัสดุตัวอย่าง ส่วนรังสีที่เลือยเบนจากสารจะถูกตรวจวัดด้วยชุดอุปกรณ์ตรวจรังสี (detector) เทคนิคนี้ใช้รังสีเอกซ์ความยาวคลื่นเดียวกับกระบวนการที่ต้องการ โดยอาศัยกฎของแบร์ก์ที่กล่าวว่า สามารถมองผลลัพธ์ว่าประกอบด้วยชั้น (layer) หรือระนาบ (plane) ของอะตอมซึ่งสามารถสังห调皮ล่นที่ตั้งกระบวนการ โดยที่รูปแบบการเลือยเบนของรังสีเอกซ์ของวัสดุแต่ละชนิดนั้นจะมีความเฉพาะเจาะจงสำหรับวัสดุนั้น ๆ โดยมีมุมตกกระทบเท่ากับมุมสะท้อนคลื่นที่สะท้อนจากนานาจะแทรกสอดกัน ในเทคนิคนี้ต้องย่างจะหมุนไปเป็นมุม θ ในขณะที่อุปกรณ์ตรวจวัดสัญญาณรังสีเอกซ์ (X-ray detector) จะเคลื่อนที่ไปเป็นมุม 2θ เพื่อให้การเลือยเบนสอดคล้องกับกฎของแบร์ก์ ดังแสดงในภาพที่ 4.3



ภาพที่ 4.3 ลักษณะการจัดวางตัวอย่าง เมื่อเทียบกับแหล่งกำเนิดรังสีเอกซ์ และอุปกรณ์ตรวจวัด

ในงานวิจัยนี้ใช้เครื่อง X-ray diffractometer ตั้งอยู่ ณ ภาควิชาวิศวกรรมสิ่งแวดล้อม คณะวิศวกรรมศาสตร์ มหาวิทยาลัยขอนแก่น ผลิตโดยบริษัท Bruker ประเทศเยอรมันนี รุ่น D8 advance และใช้เป้าทองแดง ($\text{Cu K}_\alpha = 1.5406 \text{ \AA}$) เป็นแหล่งกำเนิดรังสีเอกซ์ ใช้ความต่างศักย์ไฟฟาระหว่างขั้วแค็ตโอดและเป้าทองแดงในการกำเนิดรังสีเอกซ์เท่ากับ 40 kV และใช้กระแสเท่ากับ 40 mA โดยวัดมุม 2θ ตั้งแต่ 20° องศา ถึง 90° องศา ความละเอียดในการวัดรังสีเอกซ์ของการหมุนวัสดุตัวอย่างคือ 0.05° เท่ากับ 0.05° องศา การตรวจสอบวัสดุตัวอย่างด้วยเทคนิค XRD จะได้กราฟความสัมพันธ์ระหว่างความเข้มของรังสีเอกซ์กับมุมของแบรอก 2θ หลังจากนั้นสามารถนำกราฟที่ได้มาวิเคราะห์และคำนวณหาค่าระยะห่างระหว่างระนาบ d_{hkl} ของแต่ละยอดกราฟฐานกว้าง ที่เป็นไปตามกฎของแบรอก โดยเมื่อทราบความยาวคลื่นของรังสีเอกซ์ที่ใช้ในการทดลองคือ λ เท่ากับ 1.5406 \AA ดังนั้นจากกฎของแบรอกสามารถหาค่า d_{hkl} ได้ดังสมการที่ (4.1)

$$d_{hkl} = \frac{1.5406}{2 \sin \theta} \text{ (\AA)} \quad (4.1)$$

เมื่อคำนวณหาค่า d_{hkl} ของทุกยอดกราฟฐานกว้างได้แล้ว นำค่า d_{hkl} ที่คำนวณได้จากการทดลองไปเทียบกับฐานข้อมูลจาก Joint Committee on Powder Diffraction Standard (JCPDS Card) ของสารประกอบหรือของธาตุแต่ละธาตุ

นอกจากนี้เทคนิค XRD ยังสามารถใช้คำนวณขนาดอนุภาค (particle size) และความเครียด (strain) ของอนุภาคโดยอาศัยความกว้างของพีคและใช้สมการของเชอร์เรอร์ (Scherrer equation) ในการคำนวณ ซึ่งมีความสัมพันธ์ดังสมการที่ (4.2)

$$B_{\text{crystallite}} = \frac{K\lambda}{L \cos \theta} \quad (4.2)$$

โดยที่ $B_{\text{crystallite}}$ คือ full width at half maximum (FWHM) เนื่องจากขนาดของผลึก

- λ คือ ความยาวคลื่นของรังสีเอกซ์ที่ใช้ในการทดลอง คือมีค่าเท่ากับ 0.15406 nm
 L คือ ขนาดอนุภาค (nm)
 θ คือ มุมที่รังสีเอกซ์ทำกับระนาบ hkl ของอะตอมในผลึก
 K คือ ค่าคงที่ ขึ้นกับขนาดและรูปร่างของเมล็ดผลึก ในทางทฤษฎีพิสูจน์ได้ว่า $0.89 \leq k \leq 1.39$
 และในทางปฏิบัติอาจใช้ค่าประมาณ $k \sim 1$ (Suryanarayana and Grant Norton, 1998)

ความกว้างของยอดกราฟรังสีผลมาจากการความเครียดของอนุภาค ซึ่งหาได้จาก

$$B_{\text{strain}} = \eta \tan \theta \quad (4.3)$$

- โดยที่ B_{strain} คือ FWHM เนื่องจากความเครียดของผลึก (radian)
 η คือ ความเครียดของอนุภาค

ความกว้างของยอดกราฟรังสีที่เกิดขึ้นเป็นผลจากขนาดอนุภาคและความเครียดของอนุภาค ในการทดลองได้ใช้ผลต่างของค่า FWHM เนื่องจากวัสดุเซรามิก BaTiO_3 และ วัสดุเซรามิก $\text{Ba}_{1-x}\text{Fe}_x\text{TiO}_3$ ($0 \leq x \leq 0.5$) ที่ผ่านการเผาผนัง (ใช้เป็นตัวอ้างอิง) และ วัสดุผง BaTiO_3 ที่ผ่านการแคลใจน์ที่อุณหภูมิ $700, 800$ และ 900°C และ วัสดุผง $\text{Ba}_{1-x}\text{Fe}_x\text{TiO}_3$ ($0 \leq x \leq 0.05$) ที่ผ่านการแคลใจน์ที่อุณหภูมิ 700°C เป็นเวลา 2 ชั่วโมง ดังนั้น จะได้ว่า $B_r = B_{\text{crystallite}} + B_{\text{strain}}$ จากสมการที่ (4.2) และ (4.3) จะได้

$$B_r = \frac{k\lambda}{L \cos \theta} + \eta \tan \theta \quad (4.4)$$

- โดยที่ B_r คือ ผลต่างของค่า FWHM ของวัสดุอ้างอิงและวัสดุจากการทดลอง (radian) ซึ่งหาได้จาก

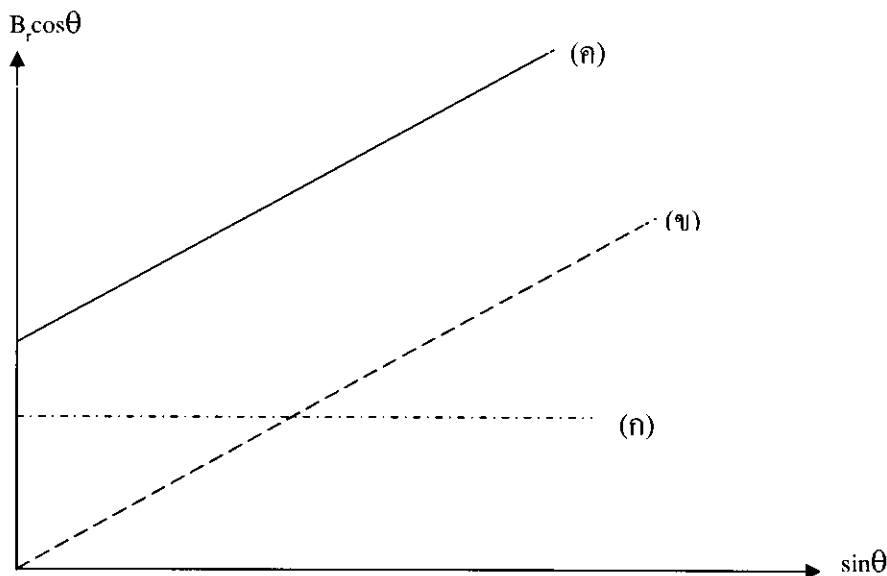
$$B_r = \sqrt{B_o^2 - B_i^2} \quad (4.5)$$

- โดยที่ B_o คือ FWHM ของวัสดุจากการทดลอง (radian)
 B_i คือ FWHM ของวัสดุอ้างอิง (radian)

จากสมการที่ (4.4) จะได้ว่า

$$B_r \cos \theta = \frac{k\lambda}{L} + \eta \sin \theta \quad (4.6)$$

จากสมการที่ (4.6) นำไปเขียนกราฟความสัมพันธ์ระหว่าง $B_r \cos \theta$ กับ $\sin \theta$ จะได้ดังภาพที่ 4.4



ภาพที่ 4.4 กราฟแสดงความสัมพันธ์ระหว่าง $B_r \cos\theta$ และ $\sin\theta$ ที่แสดงกรณีต่างๆ ที่ทำให้ยอดกราฟมีความกว้างเพิ่มขึ้น (ก) การขยายความกว้างของยอดกราฟเป็นผลมาจากการดัดอนุภาค (ข) การขยายความกว้างของยอดกราฟเป็นผลมาจากการความเครียด (ค) การขยายความกว้างของยอดกราฟเป็นผลจากขนาดอนุภาคและความเครียด

เทคนิค XRD สามารถใช้คำนวณหาค่าแลตทิซพารามิเตอร์ (lattice parameter) สำหรับโครงสร้างแบบลูกบาศก์ (cubic) และ โครงสร้างแบบเทหระโภนัล (tetragonal) โดยอาศัย d_{hkl} และระนาบการเลี้ยวเบน (hkl) ในการคำนวณ ซึ่งมีความสัมพันธ์ดังสมการที่ (4.7) และ สมการที่ (4.8) ตามลำดับ

$$\frac{1}{d_{hkl}^2} = \frac{h^2 + k^2 + l^2}{a^2} \quad (4.7)$$

$$\frac{1}{d_{hkl}^2} = \frac{h^2 + k^2}{a^2} + \frac{l^2}{c^2} \quad (4.8)$$

โดยที่ d_{hkl} คือ ระยะห่างระหว่างระนาบ
 hkl คือ ระนาบการเลี้ยวเบน
 a, c คือ แลตทิซพารามิเตอร์

4.3.3 เทคนิค Fourier transform infrared (FTIR)

เป็นเทคนิคที่ใช้ในการวิเคราะห์องค์ประกอบทางเคมีและลักษณะทางโครงสร้างและองค์ประกอบของสารอินทรีย์และสารอนินทรีย์ของวัสดุแต่ละชนิด โดยอาศัยหลักการส่องผ่านแสงในย่านอินฟราเรด ของพันธะเคมี เทคนิคนี้สามารถสังเกตความถี่ของหมู่ฟังก์ชัน (functional group) ที่มีผลต่อการสั่นของพันธะเคมีและชนิดทำให้สามารถจำแนกชนิดของหมู่ฟังก์ชันในองค์ประกอบของสารได้โดยกราฟที่ได้แสดงความสัมพันธ์ระหว่างเปอร์เซนต์ของการส่องผ่าน (%T) กับเลขคลื่น (wavenumber, cm^{-1}) โดยที่ $\%T$ คือร้อยละของความเข้มของรังสีจากต้นกำเนิดแสงที่สามารถผ่านสารตัวอย่าง ดังสมการที่ 4.9

$$\%T = \frac{A}{B} \times 100 \quad (4.9)$$

- โดยที่ A คือ ความเข้มของแสงที่ทะลุผ่านสารตัวอย่าง
B คือ ความเข้มของแสงที่ตกกระทบสารตัวอย่าง

ในงานวิจัยนี้ใช้เครื่อง FTIR ตั้งอยู่ ณ ภาควิชาเคมี คณะวิทยาศาสตร์ มหาวิทยาลัยขอนแก่น ผลิตโดยบริษัท PerkinElmer instruments รุ่น spectrum one FT-IR spectrometer Serial No. 60036 ทำการวัดสเปกตรัมในช่วง $370 - 4000 \text{ cm}^{-1}$ และเตรียมตัวอย่างโดยใช้เทคนิคโปรแทล เชี่ยมบอร์ไมน์ (KBr pellet technique) โดยใช้อัตราส่วนระหว่างสารตัวอย่างกับ โปรแทลเชี่ยมบอร์ไมน์เท่ากับ 1 ต่อ 10

4.3.4 เทคนิคการถ่ายภาพด้วยกล้องจุลทรรศน์อิเล็กตรอนแบบส่องกราด (Scanning Electron Microscope, n.d.)

การถ่ายภาพด้วยกล้องจุลทรรศน์อิเล็กตรอนแบบส่องกราด (Scanning Electron Microscope, SEM) มีหลักการทำงานของเครื่องโดยทั่วไปคือ อิเล็กตรอนจะถูกสร้างขึ้นโดยแหล่งกำเนิดอิเล็กตรอน (electron gun) หลังจากนั้นลำอิเล็กตรอนจะถูกไฟฟ้าทำให้มีความเข้มเพิ่มขึ้นและใช้ Condenser Lens บีบลำอิเล็กตรอนให้เล็นผ่านศูนย์กลางของลำอิเล็กตรอนให้มีขนาดเล็กลง ซึ่งจะทำให้ลำอิเล็กตรอนถูกไฟฟ้าให้ตกลงบนผิwtัวอย่างโดยเลนส์ใกล้วัตถุ (objective lens) ซึ่งลำอิเล็กตรอนที่ตกลงบนผิwtของสารตัวอย่าง จะเป็นจุดที่เล็กมาก สแกนคอยล์ (scan coil) ทำหน้าที่กราดลำอิเล็กตรอนไปบนผิwtของวัสดุตัวอย่างและเมื่ออิเล็กตรอนตกกระทบกับวัสดุตัวอย่างทำให้เกิดการชนแบบไม่ยืดหยุ่นกับอะตอมของวัสดุตัวอย่างส่งผลให้เกิดอิเล็กตรอนทุติยภูมิ (secondary electron) ซึ่งถูกนำไปขยายและแปลงสัญญาณให้เกิดเป็นภาพบนจอชีอาร์ที (CRT) โดยสามารถดูได้ด้วยตาเปล่าหรือบันทึกได้บนฟิล์ม สัญญาณชนิดนี้ให้ข้อมูลเกี่ยวกับลักษณะพื้นผิwtของตัวอย่าง เป็นสัญญาณที่ถูกนำมาใช้ในการสร้างภาพมากที่สุด ภาพที่ได้จากสัญญาณนี้เรียกว่า ภาพอิเล็กตรอนทุติยภูมิ (Secondary Electron Image, SEI) ความสว่างของภาพขึ้นอยู่กับพื้นผิwtของวัสดุตัวอย่าง ถ้าพื้นผิwtของวัสดุตัวอย่างมีความระบุเรียบภาพที่ได้จะสว่างน้อยกว่าพื้นผิwtที่มนูน

การเตรียมวัสดุสำหรับการศึกษาด้วย SEM เตรียมโดยการเคลือบทองลงบนผิwtของวัสดุ เพื่อให้วัสดุสามารถนำไฟฟ้าได้ ซึ่งเครื่องเคลือบทอง (sputter coater) ตั้งอยู่ ณ ภาควิชาฟิสิกส์ คณะวิทยาศาสตร์ มหาวิทยาลัยขอนแก่น ผลิตโดยบริษัท FISONS รุ่น POLARON SC500 โดยใช้กระแส 30 mA เวลาที่ใช้เคลือบนาน 3 นาที และในงานวิจัยนี้ใช้เครื่อง SEM ตั้งอยู่ที่ภาควิชาชีววิทยา คณะวิทยาศาสตร์ มหาวิทยาลัยขอนแก่น ผลิตโดยบริษัท LEO ประเทศอังกฤษ รุ่น 1450VP

4.3.5 เทคนิคการถ่ายภาพด้วยกล้องจุลทรรศน์อิเล็กตรอนแบบส่องผ่าน

(Transmission Electron Microscope, n.d.)

การถ่ายภาพด้วยกล้องจุลทรรศน์อิเล็กตรอนแบบส่องผ่าน (Transmission Electron Microscope, TEM) กล้องจุลทรรศน์อิเล็กตรอนส่องผ่านสามารถสร้างภาพได้โดยอาศัย selected area electron diffraction (SAED) ซึ่งอยู่ระหว่างชั้นงานที่มีลักษณะบาง และเลนส์โปรเจคเตอร์ ลำอิเล็กตรอนที่ถูกสร้างขึ้น โดยแหล่งกำเนิดอิเล็กตรอน (electron gun) ส่วนใหญ่จะหล่อผ่านชั้นงานโดยที่ไม่ได้เกิดการกระเจิง และมีลำ อิเล็กตรอนบางส่วนที่สูญเสียพลังงานเนื่องจากการกระเจิงแบบไม่ยึดหยุ่น แต่จะไม่มีการเปลี่ยนเส้นทางภาพที่ สร้างจากอิเล็กตรอนที่หล่อผ่านชั้นงานโดยไม่เปลี่ยนทิศทาง และสามารถตรวจจับสัญญาณปราภูบันจอกภาพ หรือแผ่นฟิล์ม

ในงานวิจัยนี้ใช้เครื่องมือ TEM ตั้งอยู่ ณ University of Arizona, USA ผลิต โดยบริษัท Hitachi รุ่น H8100 ความต่างศักย์ที่ใช้เร่งอิเล็กตรอนในเครื่อง TEM เท่ากับ 200 kV

4.3.6 เทคนิคการกระเจิงรaman

เทคนิคการกระเจิงรามาน (Raman scattering) ใช้ในการกำหนดโครงสร้างโมเลกุลและ องค์ประกอบของสารอินทรีย์และสารอินทรีย์ซึ่งอาศัยความเข้มแสลงความถี่เดียวต่อกระบที่วัสดุและเกิดการ กระเจิงด้วยความถี่ที่เปลี่ยนไปเมื่อเทียบกับความถี่ของแสงเริ่มต้น ดังนั้นการกระเจิงรามานจะบอกคุณลักษณะ ของความถี่ของ functional group ที่เปลี่ยนไป อย่างไรก็ตามความถี่บางความถี่ไม่สามารถสังเกตได้ในการกระ เจิงรามานแต่สามารถสังเกตได้ในช่วงความถี่ของ IR ในการทดลองนี้ใช้เครื่องรามานที่ภาควิชาฟิสิกส์ คณะ วิทยาศาสตร์ มหาวิทยาลัยขอนแก่นผลิตโดยบริษัท JOBIN YVON โดยมีสเปกโตรมิเตอร์รุ่น T6400 มี แหล่งกำเนิดเลเซอร์เป็นอาร์กอนเลเซอร์ (Ar-ion Laser) ความยาวคลื่น 514.5 nm (สีเขียว) มีขนาดลำเลเซอร์ เท่ากับ 1-2 μm ในการทดลองใช้กำลังเลเซอร์เท่ากับ 30 mW ทำการวัดสเปกตรัมที่อุณหภูมิห้อง (room temperature) โดยใช้ single mode ช่วงสเปกตรัมที่วัดอยู่ในช่วง 100 - 100 cm^{-1} วัดสเปกตรัมช้า 2 ครั้ง แต่ละ ครั้งใช้เวลา 30 วินาที

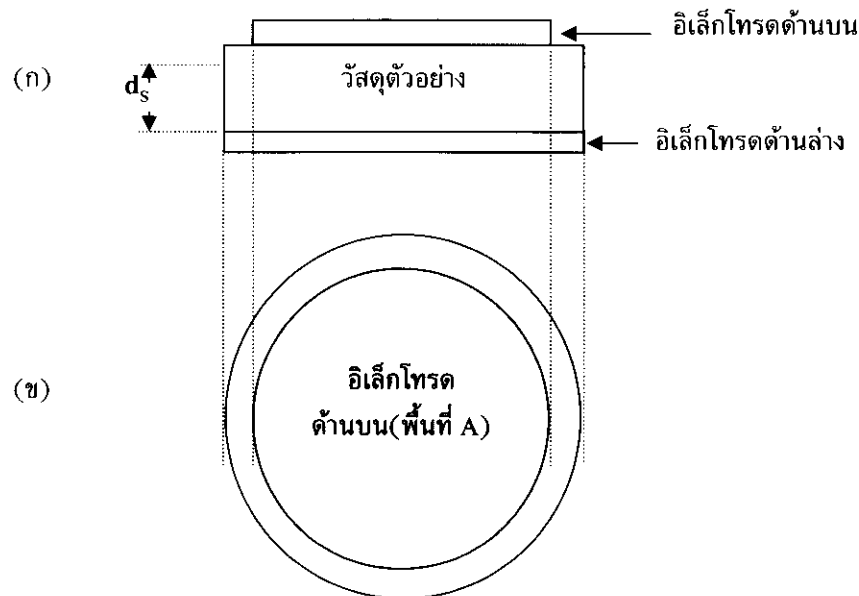
4.4 การศึกษาผลของอุณหภูมิและความถี่ต่อสมบัติทางไดอิเล็กทริกของวัสดุเซรามิก

BaTiO_3 และ วัสดุเซรามิก $\text{Ba}_{1-x}\text{Fe}_x\text{TiO}_3$ ($0 \leq x \leq 0.05$)

วัสดุเซรามิก BaTiO_3 และ วัสดุเซรามิก $\text{Ba}_{1-x}\text{Fe}_x\text{TiO}_3$ ($0 \leq x \leq 0.05$) ที่ผ่านการศึกษาโครงสร้าง และคุณลักษณะพื้นฐานแล้ว ได้ถูกนำมาศึกษาสมบัติทางไดอิเล็กทริก โดยเป็นการศึกษาผลของอุณหภูมิและ ความถี่ต่อสมบัติทางไดอิเล็กทริกของวัสดุตัวอย่าง ในงานวิจัยนี้ได้ศึกษาในช่วงของอุณหภูมิ -50 ถึง 200°C และช่วงความถี่ 100 Hz ถึง 1 MHz และใช้ความต่างศักย์ของการสั่น 1 โวลต์ สำหรับขั้นตอนการเตรียมวัสดุ ตัวอย่างสำหรับการทดสอบสมบัติทางไดอิเล็กทริก ระบบและหลักการทำงานของเครื่อง และขั้นตอนการวัด มี รายละเอียดดังต่อไปนี้

4.4.1 การเตรียมวัสดุตัวอย่างสำหรับทดสอบสมบัติทางไดอิเล็กทริก

การเตรียมวัสดุตัวอย่างสำหรับการทดสอบสมบัติทางไดอิเล็กทริกของวัสดุเซรามิก BaTiO_3 และ วัสดุเซรามิก $\text{Ba}_{1-x}\text{Fe}_x\text{TiO}_3$ ($0 \leq x \leq 0.05$) เริ่มต้นด้วยการขัดผิวน้ำข่องวัสดุตัวอย่างทั้งสองด้านและผิวด้านข้างของวัสดุเซรามิกให้เรียบและมีความหนาส่วนที่ส่วนด้านข้างและด้านหน้าเรียบสม่ำเสมอแล้ว ล้างวัสดุตัวอย่างด้วยน้ำเพื่อกำจัดผงชัดที่ตกค้างจากการขัดด้วยกระดาษทราย แล้วอบวัสดุตัวอย่างให้แห้งในตู้อบที่ อุณหภูมิ 80°C หลังจากนั้นวัดความหนาของวัสดุตัวอย่างด้วยไมโครมิเตอร์ โดยทำการวัดที่จุดต่างๆ 3 จุดแล้วนำมาเฉลี่ยเป็นค่าความหนา (d_s) ของวัสดุตัวอย่าง หลังจากนั้นนำวัสดุตัวอย่างมาทำขั้วอิเล็กโทรด (electrodes) ที่บริเวณผิวด้านทั้งสองด้านด้วยการเงิน (silver paint) โดยที่ขั้วอิเล็กโทรดด้านบน (bottom electrode) ทาด้วยการเงินจนเต็มพื้นที่ ส่วนอิเล็กโทรดด้านบน (top electrode) ทาเป็นพื้นที่วงกลมและทราบพื้นที่ (A) ของ อิเล็กโทรด (ภาพที่ 4.5) โดยระวังไม่ให้การเงินติดพื้นผิวด้านข้างของวัสดุตัวอย่าง เมื่อทำขั้วอิเล็กโทรดบนวัสดุตัวอย่างเสร็จแล้วจะนำวัสดุตัวอย่างไปอบให้แห้งในตู้อบที่อุณหภูมิ 100°C โดยใช้เวลาอบประมาณ 1 ชั่วโมง

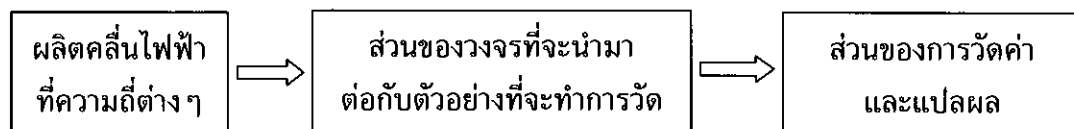


ภาพที่ 4.5 การเตรียมวัสดุตัวอย่างสำหรับทดสอบสมบัติทางไดอิเล็กทริก (g) ภาคตัวขวาง (h) ผิวน้ำอิเล็กโทรดด้านบน

4.4.2 ระบบและหลักการทำงานของเครื่องทดสอบสมบัติทางไดอิเล็กทริก (ประสิทธิ์ ทองใบ, 2549)

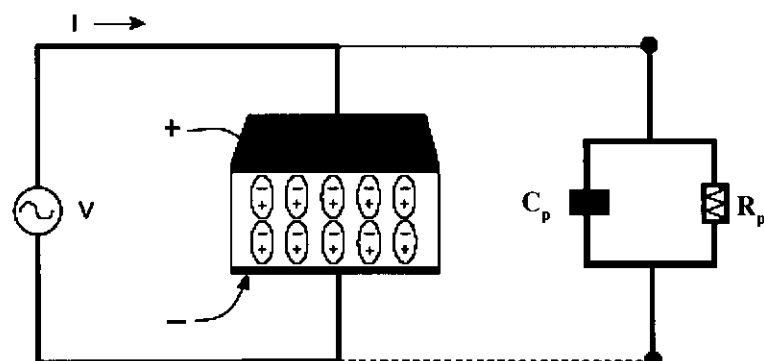
การทดสอบสมบัติทางไดอิเล็กทริกของวัสดุตัวอย่างในงานวิจัยนี้ ทดสอบโดยใช้เครื่องมือทดสอบสมบัติทางไฟฟ้า HP-4194A Impedance/Gain-Phase Analyzer ตั้งอยู่ณ ศูนย์เทคโนโลยีโลหะและวัสดุแห่งชาติ (MTEC) เครื่องมือทดสอบสมบัติทางไดอิเล็กทริกของวัสดุนี้สามารถวัดได้ในช่วงความถี่กว้าง (100 Hz – 40 MHz) และสามารถประยุกต์ใช้ได้กับวัสดุตัวอย่างที่เป็นของเหลวหรือของแข็ง โดยใช้การวัดค่าในโหมดของการวัดค่าอิมพีเดนซ์ (impedance measurement) เครื่องมือทดสอบสมบัติทางไฟฟ้า HP-4194A Impedance/Gain-Phase Analyzer นี้สามารถวัดค่าต่างๆ ดังต่อไปนี้คือ อิมพีเดนซ์ ($|Z|$), แอดมิตแทนซ์ ($|Y|$), θ (phase), ความต้านทานไฟฟ้า (resistance, R), รีแอคแทนซ์ (reactance, X), ความนำไฟฟ้า (conductance, G), ชั้สเซนต์แทนซ์ (susceptance, B), ความเน้นนำไฟฟ้า (inductance, L), ความจุไฟฟ้า (capacitance, C), แฟกเตอร์การสูญเสีย (dissipation factor, D) และ Q (quality factor)

หลักการทำงานของเครื่องมือทดสอบสมบัติทางไฟฟ้า Impedance/Gain-Phase Analyzer (HP 4194A) คือ วงจรอิเล็กทรอนิกส์ภายในเครื่องทำหน้าที่ผลิตคลื่นไฟฟ้าที่มีความถี่ต่างๆ ในช่วงของการใช้งานเพื่อส่งให้กับวงจรในการวัดและนำค่าที่ได้้นั่นผ่านวงจรอิเล็กทรอนิกส์เพื่อแปลผล (ดังภาพที่ 4.6)



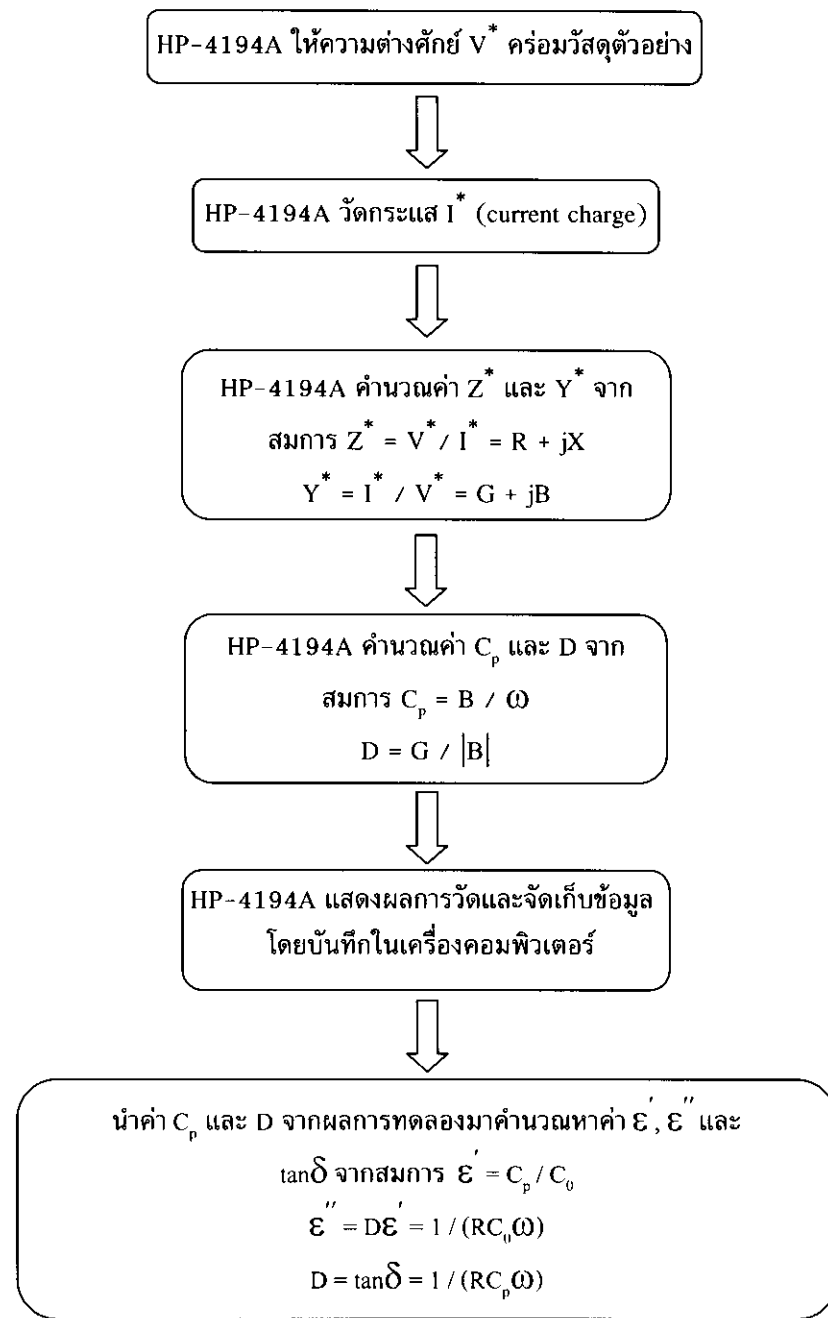
ภาพที่ 4.6 หลักการทำงานของเครื่องทดสอบสมบัติทางไฟฟ้า Impedance/Gain-Phase Analyzer (HP 4194 A)

หลักการทำงานของเครื่องทดสอบสมบัติทางไดอิเล็กทริกในงานวิจัยนี้ได้ใช้หลักการของตัวเก็บประจุแบบแผ่นคู่ชานน โดยไดอิเล็กทริกแทนด้วยวัสดุเซรามิกที่นำมาทดสอบและส่วนของแผ่นคู่ชานนแทนด้วยชิ้วอิเล็กโทรดที่เตรียมบนผิวน้ำทึ้งสองด้านของวัสดุตัวอย่าง (ภาพที่ 4.5) แผนภาพของการทดลองแสดงดังภาพที่ 4.7



ภาพที่ 4.7 ระบบทดสอบสมบัติทางไดอิเล็กทริกของวัสดุเซรามิก

จากภาพที่ 4.7 เครื่องมือทดสอบสมบัติทางไฟฟ้า Impedance/Gain-Phase Analyzer (HP-4194A) ทำหน้าที่เป็นแหล่งกำเนิดคลื่นไฟฟ้าที่ความถี่ต่าง ๆ ต่อเชื่อมกับส่วนที่ออกแบบมาเป็นชลส.เพื่อทดสอบตัวเก็บประจุ ในการทดลอง เชลล์ดังกล่าวมีหน่วยวัสดุเชรามิกไดอะลีกทริกที่ขึ้นอิเล็กโทรดทำจากการเงิน และเชลล์ดังกล่าวมีอุปกรณ์พิจารณาว่าเป็นวงจรไฟฟ้าที่ประกอบด้วยตัวเก็บประจุ (C_p) และตัวต้านทาน (R_p) ที่ต่อกันแบบขนาน โดย C_p เป็นส่วนที่แสดงถึงการเก็บประจุไฟฟ้า และ R_p เป็นส่วนที่แสดงการสูญเสียพลังงานไฟฟ้าในรูปของความร้อน แผนภาพแสดงหลักการคำนวณและประมาณผลข้อมูลแสดงดังภาพที่ 4.8



ภาพที่ 4.8 หลักการวัดและการเก็บข้อมูลในการทดสอบสมบัติทางไดอิเล็กทริกในงานวิจัยนี้

หมายเหตุ ; $\omega = 2\pi f$ เมื่อ f คือความถี่ของสนามไฟฟ้าที่ใช้

$C_0 = A\epsilon_0/d_s$ เมื่อ A คือ พื้นที่ของอิเล็กโทรด (m^2), d_s คือ ความหนาของวัสดุตัวอย่าง (m)

ϵ_0 คือ สภาพย้อมทางไฟฟ้าของสูญญากาศ ซึ่งมีค่าเท่ากับ $8.845 \times 10^{-12} F/m$

4.4.3 ขั้นตอนการทดสอบ

ทำการเปิดเครื่องทดสอบสมบัติทางไฟฟ้า HP-4194A เปิดโปรแกรมควบคุมการวัดและโปรแกรมบันทึกข้อมูล จากนั้นรอประมาณ 30 นาทีเพื่อให้เครื่องวัดพร้อมทำงาน โดยตั้งค่าความถี่เริ่มต้นและความถี่สุดท้ายของการวัด คือ 100 Hz และ 1 MHz ตามลำดับ ทำการตั้งค่าการวัดตามแกนความถี่เป็นแบบลอการิทึมโดยทำการวัดทั้งหมด 51 จุดตลอดช่วงของความถี่ที่วัด โดยตั้งค่าโวลต์เจลาร์สัน (oscillation voltage) เท่ากับ 1 โวลต์ ตั้งค่าในโหมดของการวัดค่าอิมพีเดนซ์เป็นการวัดค่า C_p , D ซึ่ง หมายถึงการวัดค่าความจุไฟฟ้า และ แฟกเตอร์การสูญเสีย (tanδ) นำวัสดุตัวอย่างใส่เข้าไปในระบบที่สามารถปรับอุณหภูมิได้ โดยทำการวัดสมบัติทางไดอิเล็กทริกของวัสดุตัวอย่างในช่วงอุณหภูมิ -50 ถึง 200 °C ทำการวัดและเก็บข้อมูลที่ได้จากการวัดไปคำนวณหาค่าคงที่ไดอิเล็กทริกและค่าการสูญเสียทางไดอิเล็กทริก (คำนวณโดยใช้โปรแกรม Microsoft Excel)

4.5 การศึกษาอิทธิพลของความเค้นแบบแกนเดี่ยวต่อสมบัติไดอิเล็กทริกของวัสดุเซรามิก $BaTiO_3$ และวัสดุเซรามิก $Ba_{1-x}Fe_xTiO_3$ ($0 \leq x \leq 0.5$)

4.5.1 ความเค้นแบบแกนเดี่ยว

ความเค้น (stress) เป็นสมบัติเชิงกลของวัสดุที่เป็นแรงต้านทานภายในของวัสดุที่พยายามต้านทานออกที่มาระทำ เพื่อไม่ให้วัสดุเปลี่ยนแปลงขนาดและรูปร่าง โดยแรงต้านนี้จะกระทำอย่างสม่ำเสมอบนพื้นที่หน้าตัดของวัสดุ ดังสมการที่ (4.10)

$$S = \frac{F}{A} \quad (4.10)$$

เมื่อ S คือ ความเค้น (stress)

F คือ แรงภายนอกที่มาระทำต่อวัสดุ

A คือ พื้นที่หน้าตัดของวัสดุ

ความเค้นมีหน่วยเป็น นิวตัน/เมตร² (N/m^2) หรือ ปascal (Pascal, Pa) และขึ้นอยู่กับลักษณะของแรงภายนอกที่มาระทำ เช่น วัสดุเมื่อยื่นในสภาพถูกดึง (tension) จะเกิดความเค้นดึง (tensile stress) ถ้าวัสดุถูกกดหรืออัด (compression) จะเกิดความเค้นกด (compressive stress) หรือวัสดุไดรับแรงที่ทำให้ผิวด้านหนึ่งเคลื่อนที่ผ่านผิวด้านตรงข้ามในลักษณะที่ถูกเฉือน (shear stress) ในขณะที่ความเค้นแบบแกนเดี่ยว (uniaxial Stress) เป็นแรงที่กระทำต่อวัสดุในทิศทางเดียวเท่านั้น จะไม่มีแรงจากแกนอื่นมากระทำ เพราะจะทำให้เกิดความเค้นเฉือน

4.5.2 สมบัติไดอิเล็กทริกภายใต้ความเค้นแบบแกนเดี่ยว

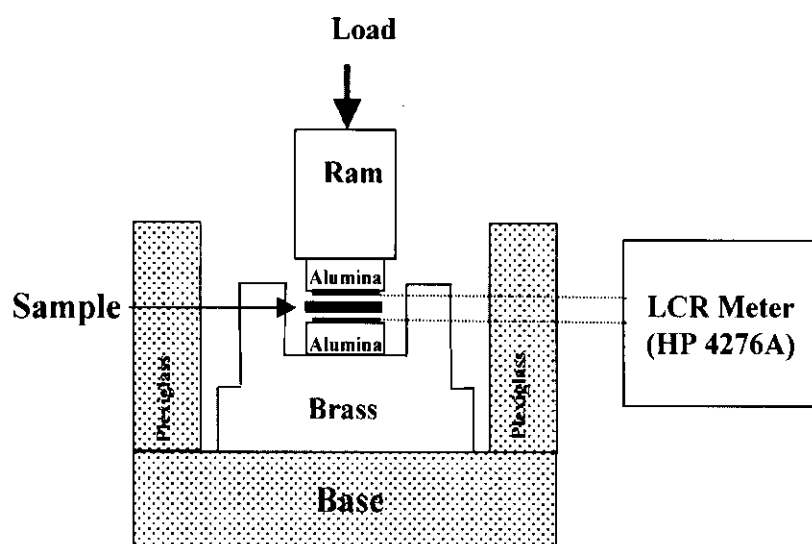
การศึกษาอิทธิพลของความเค้นแบบแกนเดี่ยวต่อสมบัติทางไดอิเล็กทริกของวัสดุเซรามิก $BaTiO_3$ และ วัสดุเซรามิก $Ba_{1-x}Fe_xTiO_3$ ($0 \leq x \leq 0.05$) โดยใช้เครื่องมือที่ออกแบบขึ้นโดย ผศ.ดร.รัตติกร ยิ่มนิรัญ (ภาควิชาฟิสิกส์ คณะวิทยาศาสตร์ มหาวิทยาลัยเชียงใหม่) โดยได้ออกแบบและสร้างเครื่องมืออัดแรงเค้นแบบแกนเดี่ยว (uniaxial compressometer) ที่เชื่อมต่อกับระบบวัดสมบัติทางไดอิเล็กทริก และสมบัติทาง

ได้อิเล็กทริกถูกวัดจากหัวด (spring-loaded pin) ซึ่งถูกต่อ กับมิตอร์แบบ LCZ (LCZ-meter, HP 4276A) ดังภาพที่ 4.9

ชิ้นสามารถวัดค่าความจุไฟฟ้าและค่าการสูญเสียทางได้อิเล็กทริกที่สภาวะความเด่นต่าง ๆ ทั้งในช่วงของการเพิ่มและลดความเด่น ค่าความจุไฟฟ้าที่วัดได้สามารถนำมาคำนวณหาค่าคงที่ได้อิเล็กทริกได้ดัง สมการที่ (4.11)

$$\varepsilon' = \frac{C_p d}{\varepsilon_0 A} \quad (4.11)$$

เมื่อ C_p คือ ค่าความจุไฟฟ้า, d คือ ความหนาของวัสดุตัวอย่าง และ A พื้นที่ของ อิเล็กโทรดซึ่งในการทดลองภายใต้สภาวะความเด่นนี้ ได้ใช้เครื่องอัตโนมัติ Riken Seeiki Co., Ltd. 137609 ซึ่งให้ความเด่นกับวัสดุตัวอย่างในช่วง 0-13 เมกะปascal (MPa)



ภาพที่ 4.9 ภาระระบบการวัดสมบัติทางได้อิเล็กทริกที่สภาวะความเด่นต่าง ๆ (Yimnirun et al., 2006)